文章编号:1004-0609(2010)02-0293-08

CeO2:Eu3+纳米晶的溶剂热合成及其发光性能

黄明初¹, 刘国聪^{1,2}, 李海斌^{1,3}, 尹志民¹

- (1. 中南大学 材料科学与工程学院 有色金属材料科学与工程教育部重点实验室,长沙 410083;
- 2. 玉林师范学院 化学系,玉林 537000;3. 长沙理工大学 物理与电子科学学院,长沙 410067)

摘要:采用溶剂热技术成功合成晶粒小于 100~nm 的 CeO_2 : Eu^{3+} 和 CeO_2 :4纳米晶,其中 CeO_2 : Eu^{3+} 样品在紫外光激发下发出明亮的橙红色光。用 X 射线衍射(XRD)、扫描电镜(SEM)、透射电镜(TEM)、傅立叶红外(FT-IR)、紫外漫反射(UV-vis)和光致发光(PL)等手段对产品的结构和性能进行分析和表征。结果表明: CeO_2 : Eu^{3+} 是纯立方萤石结构的单晶粉末; Eu^{3+} 已成功掺入 CeO_2 晶格中,纳米级的 CeO_2 : Eu^{3+} 和 CeO_2 的带隙能量分别是 2.831~和~2.925~eV; CeO_2 : Eu^{3+} 纳米晶在 593、612、632~nm 处具有较强的发射峰(橙红光),而且较高的退火温度有利于提高样品的晶化度和荧光强度。

Solvothermal synthesis and photoluminescence of CeO₂:Eu³⁺ nanocrystals

HUANG Ming-chu¹, LIU Guo-cong^{1, 2}, LI Hai-bin^{1, 3}, YIN Zhi-min¹

(1. Key Laboratory of Nonferrous Metal Materials Science and Engineering, Ministry of Education, School of Materials Science and Engineering, Central South University, Changsha 410083, China;

2. Department of Chemistry, Yulin Normal University, Yulin 537000, China;

3. College of Physics and Electronic Science, Changsha University of Science and Technology, Changsha 410067, China)

Abstract: CeO₂ and CeO₂:Eu³⁺ nanocrystals (*d* 100 nm) were successfully synthesized by solvothermal reaction. Upon excitation with UV light, the CeO₂:Eu³⁺ powders show bright orange red emissions due to the 4f⁶ transitions of Eu³⁺ ions. XRD, SEM, TEM, HRTEM, FT-IR, UV-vis and photoluminescence were used to characterize the samples. The results from XRD and HRTEM reveal that the powders with pure cubic fluorite-type CeO₂ phase and monocrystal structure are obtained. It is found from UV-vis and IR that Eu³⁺ is doped into CeO₂ crystal lattice, and the band gap energies of the CeO₂:Eu³⁺ and CeO₂ nanocrystals are 2.831 and 2.925 eV, respectively. The photoluminescence measurements show that the CeO₂:Eu³⁺ nanocrystals possess good emission intensities at 593, 612 and 632 nm, respectively, and its crystallinity and fluorescence intensity are improved with increasing annealing temperature.

Key words: CeO₂:Eu³⁺; nanocrystal; solvothermal synthesis; photoluminescence

 CeO_2 是一种具有面心立方萤石(CaF_2)结构的稀土氧化物,具有很好的化学稳定性和较高的介电常数 (e=26),其晶格常数(0.5411 nm)与 Si 的(0.5431 nm)相差不大,而且具有优越的储放氧功能及高温快速氧空

位扩散能力,可广泛用于发光材料 $^{[1]}$ 、催化剂 $^{[2]}$ 、紫外线吸收材料 $^{[3]}$ 、化学机械抛光材料 $^{[4]}$ 、氧敏材料 $^{[5]}$ 、电子陶瓷 $^{[6]}$ 、固体氧化物电池材料 $^{[7]}$ 等领域。近年来,合成 $^{[6]}$ 、如:化学机械法 $^{[8]}$ 、

基金项目:湖南省自然科学重点基金资助项目(08JJ3104);广西青年基金资助项目(0728107);广西教育厅基金资助项目(200708LX161)和优秀人才

计划项目(G2009033, G2009029) 收稿日期:2009-03-10;修订日期:2009-06-25

通信作者:刘国聪,教授,博士;电话:0731-88830503,0775-2666917; E-mail:gcl_109@163.com

微乳法 $^{[9]}$ 、声化学法 $^{[10]}$ 、均相沉淀法 $^{[11]}$ 、溶胶-凝胶法 $^{[12]}$ 、水热合成法 $^{[13]}$ 、微波引诱燃烧法 $^{[14]}$ 等。不过,这些方法多数集中于 CeO_2 纳米材料的机械抛光和催化性能等领域,而对其光学性能的研究还不够深入,且大部分合成产品的颗粒较大,团聚现象严重,十分不利于产品的工业应用。工业上要求以 CeO_2 为基体的荧光粉、抛光粉、陶瓷粉、催化剂等具有粒径分布窄、晶化程度高的特点。此外, CeO_2 良好的光学透明性和较高的折射率虽然促进了以 CeO_2 为基体的光学材料的合成和应用,但产品尺寸调控和性能优化一直存在巨大的挑战 $^{[15-17]}$ 。

一些研究表明,发光材料的基质和掺杂离子对稀土离子的发光性质有重要影响 $[^{18-20]}$ 。 Eu^{3+} 是发光性能较好的一种稀土离子,它发射的 610~nm 红色荧光的单色性好、量子效率高。目前,对稀土离子掺杂 CeO_2 纳米晶的可控合成及其发光性能研究甚少。因此,寻求一种尺寸和形貌可控的 CeO_2 : Eu^{3+} 纳米晶的合成方法以及深入探讨掺杂稀土 Eu^{3+} 对基体 CeO_2 的敏化作用的研究具有重要的理论意义和应用价值。

本文作者以硝酸铈、硝酸铕、氨水为反应物,以聚乙烯吡咯烷酮(PVP)为抑制剂和分散剂,通过溶剂热技术制备出晶粒小于 100 nm 且分散性良好的CeO₂:Eu³⁺纳米晶,并分析CeO₂:Eu³⁺的光学性能,以及退火温度对CeO₂:Eu³⁺纳米晶的荧光强度的影响。

1 实验

1.1 药品及仪器

实验药品: $Ce(NO_3)_3\cdot 6H_2O(AR)$ 、 $NH_3\cdot H_2O(AR)$,氧化铕(99.99%),浓硝酸(AR),盐酸(AR),无水乙醇(AR);所用水为去离子水。

主要仪器和设备: AY220 电子天平, DF-101S 恒温加热磁力搅拌器, DHG-9023A 电热恒温鼓风干燥箱, BA-4WHF 微波型马沸炉, F-4500 荧光分光光度计, RigakuD/max-2500VB型 X 射线衍射仪, 日立H2800型透射电子显微镜透, 日本分光 V-570(JASCO)紫外-可见光谱仪等。

1.2 CeO₂:Eu³⁺纳米晶的合成

首先称取一定质量的 Eu₂O₃ 溶解在适量的浓硝酸中,将多余硝酸加热挥发,容器冷却后得到固体,向其中加入少量乙醇溶解并磁力搅拌配成 100 mL 0.5 mol/L 溶液备用;再准确称量 1.702 g Ce(NO₃)₃·6H₂O 加入 25 mL 无水乙醇中,磁力搅拌 10 min 后得到澄清

溶液,然后依次加入 0.8~g~PVP 和 $4~mL~0.05~mol/L~Eu(NO_3)_3$ 溶液继续搅拌 1~h(Eu/Ce~o) 摩尔比约 5:95),再向上述溶液中逐滴加入 $10\%NH_3\cdot H_2O$ 调节其 pH 值至 8. 持续搅拌 30~min~后将所得悬浮液转移到 <math>50~mL 聚四氟乙烯不锈钢高压反应釜中,加乙醇至反应釜容量的 80% 密封,反应物在 180~ 恒温电热烘箱中进行水热反应 12~h。反应结束后,自然冷却至室温得到白色前驱体,分别用去离子水和无水乙醇洗涤 $3~\chi$,在 80~ 真空中干燥 6~h 得产品,然后分别在 400、600~和 800~ 煅烧上述产品 4~h 得各种浅黄色 $CeO_2:Eu^{3+}$ 样品。

1.3 样品的表征和测试

CeO₂:Eu³+样品采用 RigakuD/max-2500VB 型 X 射线衍射仪进行物相分析 ,采用 Cu K_a(λ =1.545Å)实施确定样品的晶型和组成 ;采用日立 H2800 透射电子显微镜(200 kV)和场发射扫描电镜(FISEM , Sirion200 , FEI,GENESIS 60S , American)观测样品的晶粒尺寸和形貌并确定产物的粒径大小和分布 ;采用 FL-4500 型荧光仪分析 CeO₂:Eu³+的光致发光性能 ;采用 V-570 紫外-可见光谱仪测试样品的紫外吸收谱。采用 GX 型傅里叶变换红外光谱仪测试样品的红外光谱 ,其工作条件 :压片法 ,仪器分辨率为 4 cm⁻¹ ,检测器为 MCT ,检测范围为 500~4 000 cm⁻¹。

2 结果与讨论

2.1 CeO₂:Eu³⁺的物相结构分析

图 1 所示为以乙醇为溶剂在 180 下反应 24 h 所得样品的 XRD 谱。由图 1 可见 , CeO_2 和 CeO_2 : Eu^{3+}

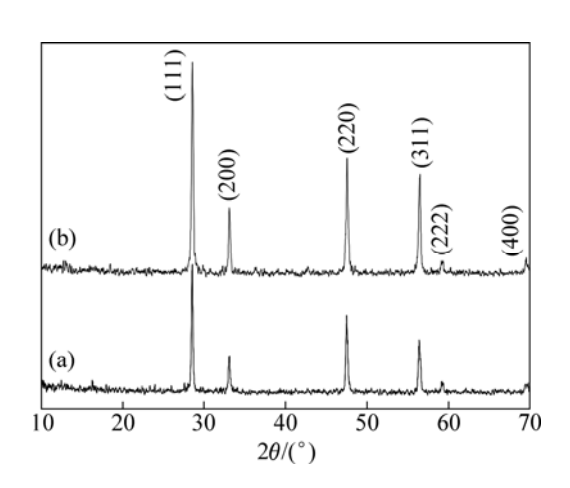


图 1 CeO₂和 CeO₂:Eu 的 XRD 谱

Fig.1 XRD patterns of CeO₂ (a)and CeO₂:Eu³⁺ (b)

的 XRD 谱线十分相似 ,均在 28.5° 、 33.1° 、 47.5° 、 56.5° 、 59.2° 和 69.6° 处出现了明显的 6 个特征峰 ,分别对应于 CeO_2 晶体的(111)、(200)、(220)、(311)、(222)和(400) 晶面 ,其它位置的峰强度均不大。所有衍射峰均与纯立方相 CeO_2 的标准谱一致(JCPDS Card No.43-1102) ,因 Eu^{3+} 的掺杂量(摩尔分数)很少(8.0%)而无其特征衍射峰 ,同时谱线中没有发现其它杂质的衍射峰 ,说明样品的纯度较高。同时参照 XRD 微结构数据 ,根据谢乐(Scherrer)公式 $D=K\lambda/(\beta\cos\theta)$ (其中 K 为常数 , λ 为 X 射线波长 , β 为半高宽 , θ 为衍射角)可算出 CeO_2

和 CeO_2 : Eu^{3+} 样品的晶粒大小分别是 80 和 50 nm , 这 与样品的 TEM 测试结果比较吻合。由此可见 , 溶剂 热法制备的 CeO_2 和 CeO_2 : Eu^{3+} 均具有较好的结晶度。

2.2 CeO2:Eu3+的形貌和微结构分析

用场发射扫描电镜(SEM)和透射电镜(TEM)分析样品的基本形貌和微观结构,其结果如图 2 所示。图 2(a)所示为溶剂热法制备的 CeO_2 纳米晶。由图 2(a) 可见, CeO_2 纳米晶由许多立方小颗粒组成,其平均粒径约 80~nm,而且产率高。图 2(b)~(d)所示为 CeO_2 :Eu³⁺

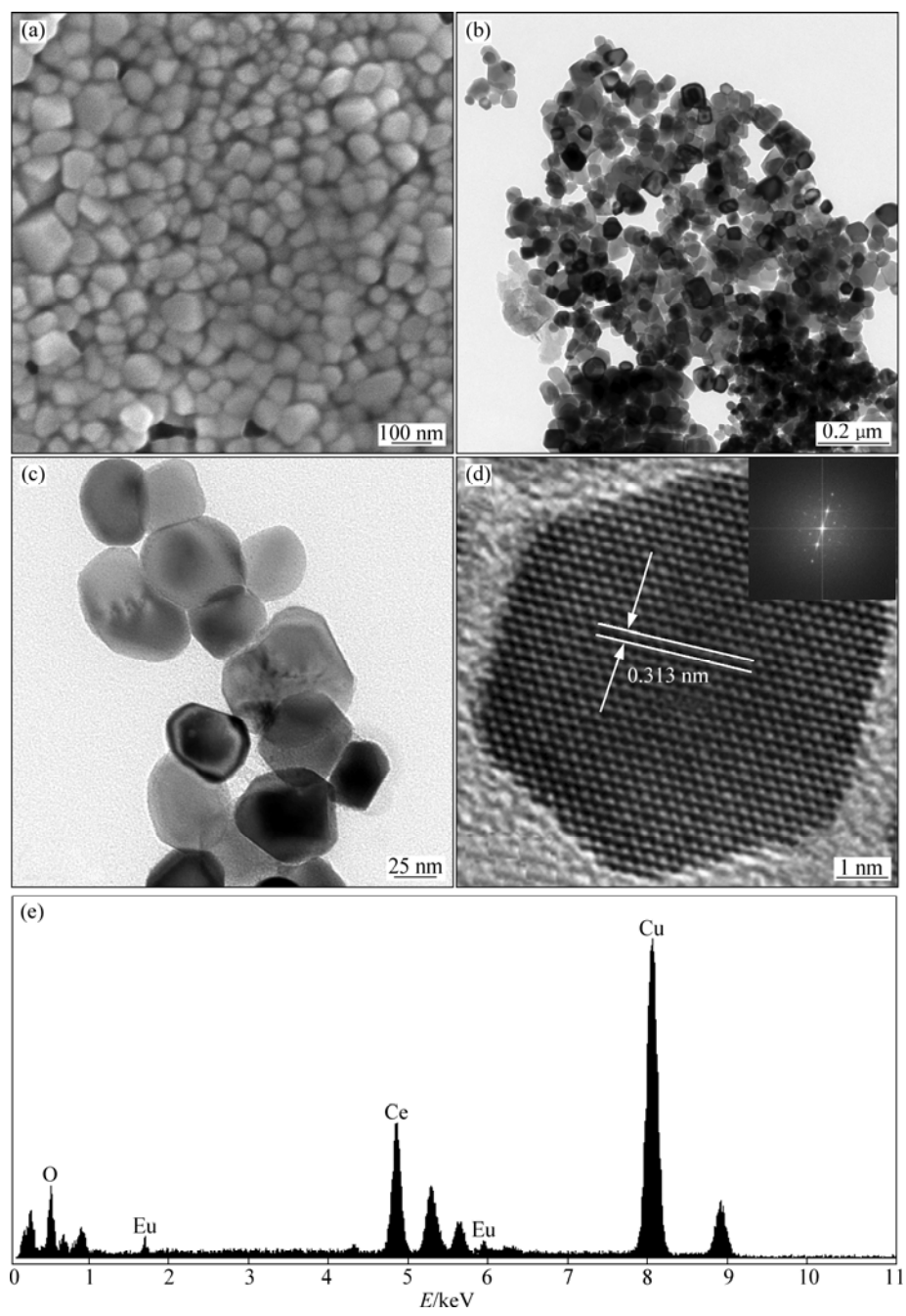


图 2 样品的 SEM、TEM 像和 EDS 谱

Fig.2 SEM, TEM images and EDS spectrum of samples: (a) SEM image of CeO₂; (b) Low magnification TEM image of CeO₂:Eu³⁺; (c) High magnification TEM image of CeO₂:Eu³⁺; (d) HRTEM image of CeO₂:Eu³⁺ (FFT, inset); (e) EDS spectrum of CeO₂:Eu³⁺

纳米晶的 TEM 和 HRTEM 像。由图 2(b)和(c)可见, 粒子晶形比较规整,边缘较清晰,颗粒直径小于 50 nm 是现出小多面体形状,但样品的分散性不太强,有 一定的团聚现象。图 2(d)所示为单个 CeO₂:Eu³⁺纳米晶 的 HRTEM 像。由图 2(d)可见,样品具有很整齐的晶 格条纹, 对应于(111)晶面的间距为 0.313 0 nm。另外, 图 2(d)中的插图为样品选区的傅立叶转换图(FFT)。 HRTEM 和 FFT 图中整齐的斑点表明了样品为单晶结 构。图 2(e)所示为 CeO₂:Eu³⁺样品的选区电子能谱 (EDS)。由 EDS 数据可以得到产品中的元素 Ce 和 Eu 的摩尔比基本接近 95:5, 这与原料加入量十分一致。 而且 Ce 与 Eu 原子半径分别为 0.103 和 0.096 nm, 两 者相差不大,溶剂热反应的条件促进了这两种离子间 的同晶取代而形成完整的立方相 CeO2 结构。因此, XRD 谱中并没有显示出任何 Eu 氧化物的特征峰。这 些结果说明溶剂热反应能够产生单晶结构的 CeO₂:Eu³⁺纳米晶。

2.3 退火温度对 CeO2:Eu3+晶粒的影响

图 3 所示为前驱体分别在 400、600 和 800 热处理的 CeO_2 : Eu^{3+} 样品的 XRD 谱。由图 3 可见,所有样品的衍射峰位置没有变化,而且均对应于立方相

 CeO_2 的标准谱(JCPDS Card No.43–1102),说明热处理后 CeO_2 : Eu^{3+} 的晶型没有改变。但随着温度的升高, CeO_2 : Eu^{3+} 晶体的积分衍射峰强度变大,这显示出样品的结晶度得到进一步的提高。谢乐公式可以计算出样品在 400、600 和 800 热处理后的晶粒尺寸分别是 43.5、78.8 和 97.6 nm。

图 4 所示为不同温度退火后 CeO₂:Eu³⁺样品的

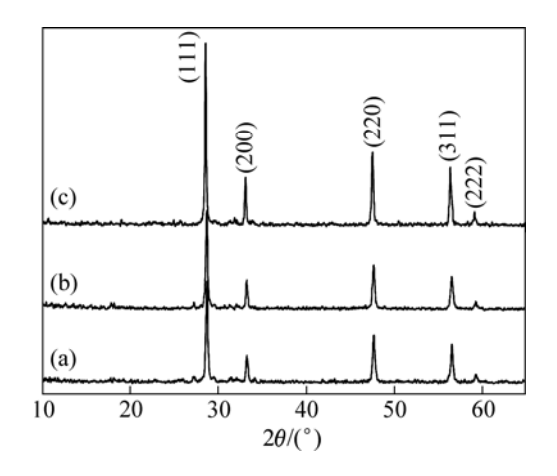


图 3 不同温度退火后 CeO₂:Eu³⁺样品的 XRD 谱 **Fig.3** XRD patterns of CeO₂:Eu³⁺ samples annealed at different temperatures: (a) 400 ; (b) 600 ; (c) 800

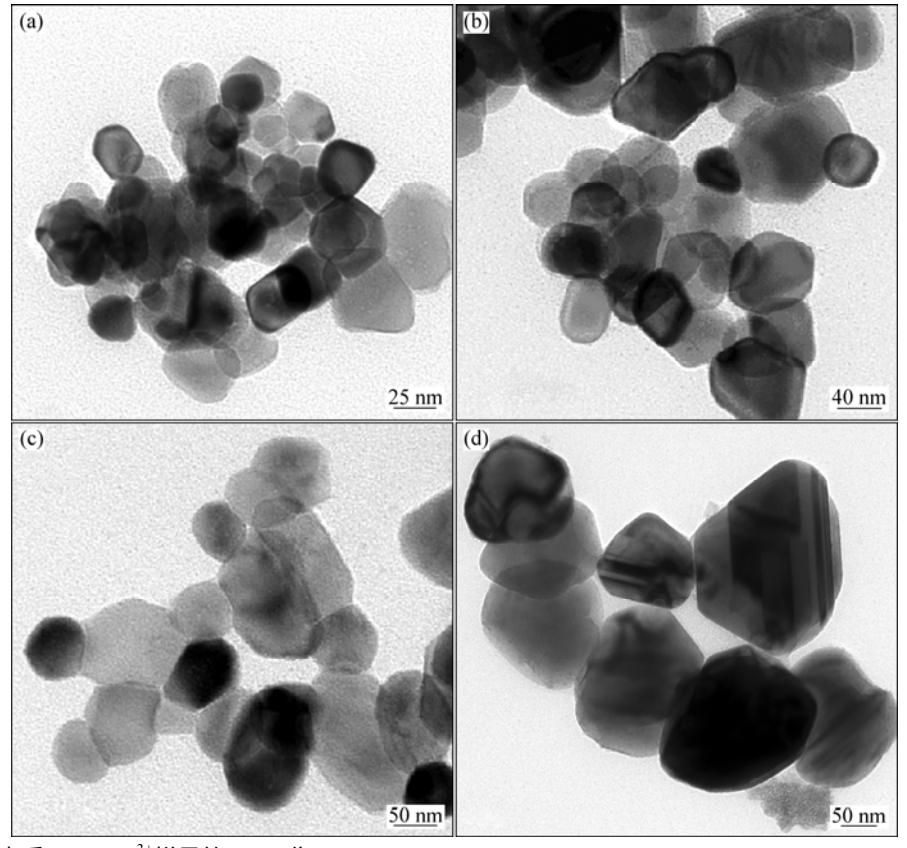


图 4 不同温度退火后 CeO₂:Eu³⁺样品的 TEM 像

Fig.4 TEM images of CeO₂:Eu³⁺ samples annealed at different temperatures: (a) 400 ; (b) 600 ; (c) 800 ; (d) 1 000

TEM 像。由图 4 可知,不同温度退火对样品的颗粒形貌影响不大,颗粒的形貌基本上保持多面体形状,但对颗粒的直径影响比较显著。 400 退火后,样品的粒径小于 50 nm(见图 4(a)); 600 退火后,一些晶粒会长大,粒径达到 80 nm(见图 4(b)); 800 退火,大部分颗粒的粒径超过 100 nm(见图 4(c)); 1 000 退火,全部颗粒粒径不小于 100 nm,有的粒径达到 150 nm。根据经典的晶体生长和"生长基元"理论,随着退火温度的升高,平衡向较稳定的晶态相立方相(相比无定形态)移动,因此 CeO_2 : Eu^{3+} 样品的晶化速度增强;另外,溶剂热生成的有晶格缺陷的晶体在较高的温度退火中会进一步结晶,因而晶体结构趋于完整。而且随着热温度升高和能量的增加,小颗粒逐渐生长成大颗粒,开始沿着一定的方向生长,形成较为均匀的多面体状的 CeO_2 : Eu^{3+} 纳米晶。

2.4 样品的傅里叶红外光谱和紫外光谱

图 5 所示为 600 退火后的 $CeO_2:Eu^{3+}$ 、 CeO_2 和商业 CeO_2 的红外光(IR)谱。由图 5 可知,所合成的 CeO_2 纳米晶(见图 5(b))与商业 CeO_2 粉末(见图 5(c))的 IR 谱基本相同,均在 1620、1500、1145、999、854 和 661 cm⁻¹ 处出现了振动峰。 $1500\sim1620$ cm⁻¹ 之间的 窄峰主要来自于样品表面吸附水分子的 O—H 键的振动,1145 cm⁻¹ 处的宽而强的振动峰是 CeO_2 —Ce 键的弯曲振动引起,而 999、854、661 cm⁻¹ 处的弱峰则来自于 $CeO_2:Eu^{3+}$ (见图 5(a))在 1398、661 和 615 cm⁻¹ 处出现了 $CeO_2:Eu^{3+}$ (见图 5(a))在 1398、661 和 615 cm⁻¹ 处出现了 $CeO_2:Eu^{3+}$ (见图 5(a))在 1398、139800,而后两者主要是因为 139800,而后两者主要是因为 139800,而后两者主要是因为 13981。

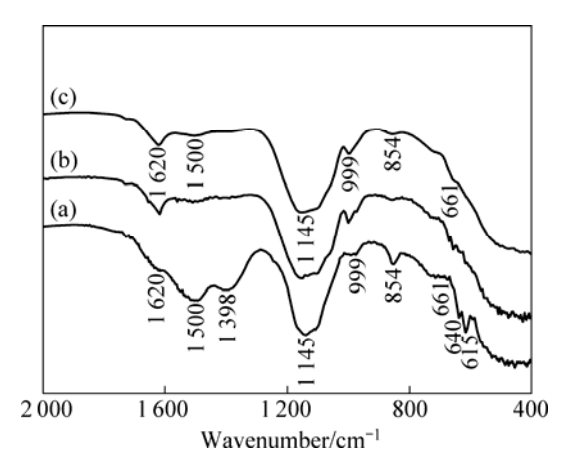


图 5 不同样品的红外光谱

Fig.5 IR spectra of different samples: (a) CeO₂:Eu; (b) CeO₂; (c) Commercial CeO₂

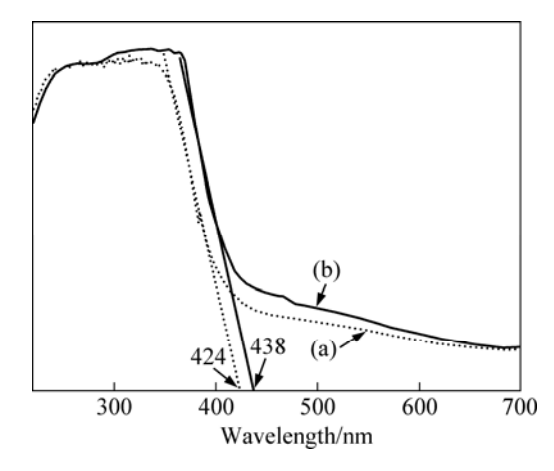


图 6 样品的紫外光谱

Fig.6 UV-vis spectra of different samples: (a) CeO₂:Eu³⁺; (b) CeO₂

振动[21]。

CeO₂ 和 CeO₂:Eu³⁺样品的紫外漫反射光谱的测试结果如图 6 所示,图中曲线(a)和(b)分别对应于 CeO₂和 CeO₂:Eu³⁺样品。由图 6 可见,两者在 200~380 nm 范围内紫外光具有良好的吸收,呈现出一个较宽的吸收带,而对波长大于 380 nm 的光的吸收则较少。Eu 掺杂的 CeO₂ 紫外吸收峰的波长向长波方向发生了微量的移动,存在红移现象,说明 CeO₂:Eu³⁺还能够吸收少量的可见光。CeO₂ 和 CeO₂:Eu³⁺样品紫外线陡度切线与水平线交点的波长分别为 424 和 438 nm。带隙能量估算公式如下:

$$E_{\rm g}=1\ 240/\lambda_{\rm g}\tag{1}$$

式中: λ_g 为光谱陡度切线与水平部分的交点值,nm。 CeO_2 和 CeO_2 : Eu^{3+} 样品可计算出带隙能量分别是 2.925 和 2.831 eV ,均小于块状 CeO_2 的带隙能量(3.4 eV)^[22]。 而且掺杂 Eu^{3+} 后的 CeO_2 带隙宽度比纯 CeO_2 纳米晶小了 0.113eV。 这说明 CeO_2 : Eu^{3+} 相比 CeO_2 富有更好的光吸收能力。因此, CeO_2 和 CeO_2 : Eu^{3+} 均能作为吸收紫外线的防护材料。

2.5 样品的荧光分析

图 7 所示为 600 退火后所得 CeO_2 和 CeO_2 : Eu^{3+} 样品的激发光谱(监控波长为 612 nm)。由图 7 可见,在 300~400 nm 之间存在一个宽带激发,峰值在 363 nm 处。由于 CeO_2 是宽禁带半导体(3.4 eV),所以在 300~400 nm 内出现的宽带激发峰起源于基质 CeO_2 的吸收,基体内电子吸收能量后发生 $O^{2-} \rightarrow Ce^{4+}$ 的电荷迁移而产生了宽带激发峰。对于 CeO_2 : Eu^{3+} 而言,468 nm

处出现了激发尖峰,还出现了 395 nm 的激发小尖峰,两个激发峰都属于 Eu^{3+} 的 $4f^6$ 克层特征激发峰。前者对应 Eu^{3+} 的 $^7F_0 \rightarrow ^5D_2$ 跃迁,后者对应 Eu^{3+} 的 $^7F_0 \rightarrow ^5L_6$ 跃迁。可见在 CeO_2 : Eu^{3+} 样品中发生 $O^{2-} \rightarrow Ce^{4+}$ 的电荷迁移时,已经将能量传递给 Eu^{3+} 。由于掺杂 Eu^{3+} 的浓度较少,激发谱主要表现为基质的宽带吸收,而 Eu^{3+} 的 $4f^6$ 克层特征吸收较弱 $[^{23}]$ 。

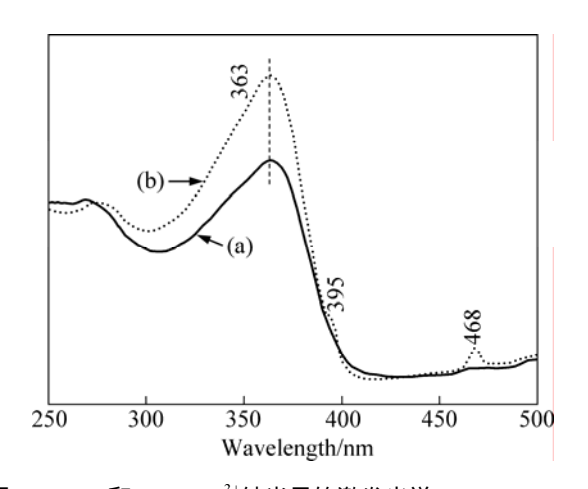


图 7 CeO₂和 CeO₂:Eu³⁺纳米晶的激发光谱 **Fig.7** Excitation spectra of CeO₂ (a) and CeO₂:Eu³⁺ (b) nanocrystals

退火后所得 CeO₂和 CeO₂:Eu³⁺ 图 8 所示为 600 样品纳米晶的发射光谱(激发波长为 363 nm)。由图 8 可以看出, CeO2基体在466 nm 处是宽带峰(蓝光), 当 基体中掺杂少量的 Eu3+后,发射谱分别在 526、548、 571、580、593、612、632 和 655 nm 等出现明显的线 状发射峰,它们分别对应于 Eu3+ 的 4f6 壳层特征跃迁 发射: ${}^5D_1 \rightarrow {}^7F_1$, ${}^5D_1 \rightarrow {}^7F_2$, ${}^5D_0 \rightarrow {}^7F_0$, ${}^5D_0 \rightarrow {}^7F_1$ (580 , 593), ${}^{5}D_{0} \rightarrow {}^{7}F_{2}(612,632)$, ${}^{5}D_{0} \rightarrow {}^{7}F_{3}$ 。图 8 中的插图 是相关 CeO₂:Eu³⁺在 675~750 nm 之间的发射谱的放大 图。由插图可见,样品在682、699、713 和725 nm 处 也出现了微弱的线状发射峰,这是 ${}^5D_0 \rightarrow {}^7F_4$ 特征峰, 而在 593,612,632 nm 处的峰强度较高,尤其是 $^5D_0 \rightarrow ^7F_1(593 \text{ nm})$ 跃迁发射的强度最大。众所周知,掺 杂离子的种类、浓度、晶体的晶化程度以及晶体内部 结构对发射峰的强度影响较大。在 CeO2: Eu3+晶体中的 Eu^{3+} 的 $^5D_0 \rightarrow ^7F_1$ 是属于磁偶极跃迁,而 $^5D_0 \rightarrow ^7F_2$ (612) nm)则属于电偶极跃迁。当晶格具有反演对称性时, ${}^5D_0 \rightarrow {}^7F_1$ 是允许跃迁, ${}^5D_0 \rightarrow {}^7F_2$ 是禁戒跃迁。当晶格 即使稍稍偏离反演对称性时 晶体场就会出现奇次项, 将相反的宇称态混合到 4f 6 组态, 使禁戒解除, ${}^5D_0 \rightarrow {}^7F_2$ 变成允许跃迁或部分允许跃迁。CeO₂:Eu³⁺样 品中的 Eu 含量(摩尔分数)约为 4.2%, 适量的 Eu3+和

 Ce^{4+} 发生同晶取代后还没有造成晶体对称性的急剧下降,仅仅是偏离反演对称性,因此, ${}^5D_0 \rightarrow {}^7F_1$ 和 ${}^5D_0 \rightarrow {}^7F_2$ 的跃迁会同时存在,但 ${}^5D_0 \rightarrow {}^7F_1$ 跃迁的强度更强。

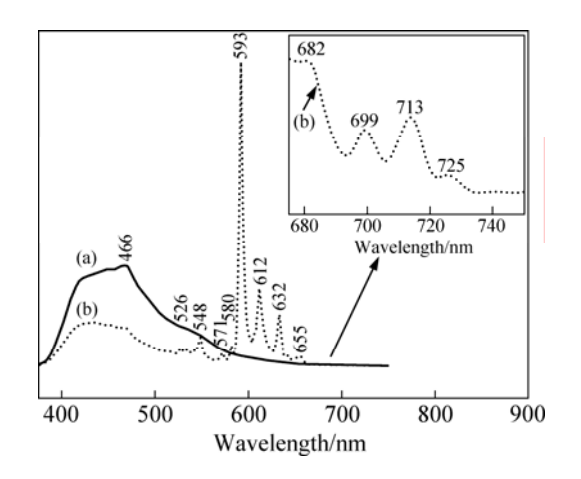


图 8 CeO₂和 CeO₂:Eu³⁺纳米晶的发射光谱 **Fig.8** Emission spectra of CeO₂ (a) and CeO₂:Eu³⁺ (b) nanocrystals

2.6 退火温度对 CeO₂:Eu³⁺荧光强度的影响

CeO₂:Eu³⁺样品分别在 873、1 073 和 1 273 K 退火后的发射光谱如图 9 所示,激发波长为 363 nm。由图 9 可知,退火温度对 CeO₂:Eu³⁺纳米晶的荧光强度有较大影响。随着退火温度从 873 K 升高到 1 073 K,再升高至 1 273 K 后,CeO₂:Eu³⁺晶体中 $^5D_0 \rightarrow ^7F_1$ (593 nm)和 $5D_0 \rightarrow ^7F_2$ (612,632 nm)跃迁发射的强度均依次增大。其原因是随着退火温度的升高,CeO₂:Eu³⁺晶体内部的缺陷减少了,内部结构的质点排列具有较高的对称性,形成结晶度好且晶粒尺寸较大的完整晶体,从而大大降低了晶体比表面积,提高了荧光强度。除此

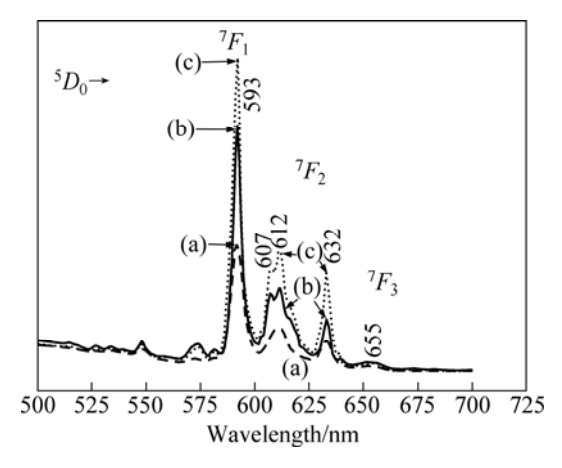


图 9 不同温度退火后 CeO₂:Eu³⁺的发射光谱

Fig.9 Emission spectra of CeO₂:Eu³⁺ nanocrystals annealed at different temperatures: (a) 873 K; (b) 1073 K; (c) 1273 K

之外,图 9 中更有意义的现象就是:在高温处理后晶体中 $5D_0 \rightarrow 7F_2$ 跃迁的简并部分劈裂现象加剧,而且在 1 073 和 1 273 K 处理后,612 nm 处的峰还分裂出一个小峰(607 nm),而且峰形宽化。这个现象不同于FUJIHARA 等[24]和刘晓华等[23]的报道。其原因还有待进一步的探索。

3 结论

- 1) 以乙醇为溶剂, $Ce(NO_3)_3 \cdot 6H_2O$ 、 $Eu(NO_3)_3$ 和 氨水为反应物,控制溶液 pH 为 8 并在 180 反应 12 h 后,再通过热处理成功获得晶粒粒径小于 100 nm 的 CeO_2 和 CeO_2 : Eu^3 +纳米晶。所有产品均是单相立方萤石结构的氧化铈,且均是单晶结构。
- 2) CeO_2 : Eu^{3+} 纳米晶的 IR 测试说明在 1 398、661 和 615 cm $^{-1}$ 处出现了 Eu—O 键的弯曲振动和 Eu—O—Ce 的伸缩振动峰;同时 UV-vis 测试显示:该方法合成的 CeO_2 和 CeO_2 : Eu^{3+} 具有良好的紫外吸收能力,而且 Eu^{3+} 掺杂后 CeO_2 紫外吸收有部分红移现象。 CeO_2 和 CeO_2 : Eu^{3+} 纳米晶的带隙能量分别约是 2.925 和 2.831eV,均小于块状 CeO_2 的带隙能量(3.40 eV)。
- 3) CeO_2 和 CeO_2 : Eu^{3+} 纳米晶的激发谱均具有基体 O^{2-} → Ce^{4+} 的电荷迁移而产生了宽带激发峰,但后者 因为掺杂 Eu^{3+} 呈现出 Eu^{3+} 的 $4f^6$ 壳层特征激发峰(395 和 468 nm 处的激发尖峰)。 CeO_2 只表现出基体在 466 nm 处的宽带峰(蓝光) ,而 CeO_2 : Eu^{3+} 纳米晶在 593、612 和 632 nm 处具有较好强度的发射峰(橙红光)。升高退火温度有利于增强 CeO_2 : Eu^{3+} 样品的结晶度和发光强度。

REFERENCES

- [1] ZHAI Y Q, ZHANG S Y, PANG H. Preparation, characterization and photocatalytic activity of CeO₂ nanocrystalline using ammonium bicarbonate as precipitant[J]. Mater Lett, 2007, 61(8/9): 1863–1866.
- [2] KIM D H, CHA J E. A CuO-CeO₂ mixed-oxide catalyst for CO clean-up by selective oxidation in hydrogen-rich mixtures[J]. Catalysis Letters, 2003, 86: 107–110.
- [3] 朱兆武, 龙志奇, 崔大立, 张顺利, 张国成. 超细 CeO₂粉体的制备及其紫外线吸收性能[J]. 中国有色金属学报, 2005, 15(3): 435-439.
 - ZHU Zhao-wu, NONG Zhi-qi, CUI Da-li, ZHANG Shun-li, ZHANG Guo-cheng. Preparation of ultra-fine particle-sized CeO2 powder and its UV absorbance[J]. The Chinese Journal of

- Nonferrous Metals, 2005, 15(3): 435-439.
- [4] FENG X D, SAYLE D C, WANG Z L, SHARON P M, SANTORA B, SUTORIK A C, SAYLE T X T, YANG Y, DING Y, WANG X D, HER Y S. Converting ceria polyhedral nanoparticles into single-crystal nanospheres[J]. Science, 2006, 312: 1504–1510.
- [5] NORIYA I, WOOSUCK S, NORIMITSU M. Fast response of resistive-type oxygen gas sensors based on nano-sized ceria powder[J]. Sensors and Actuators B, 2003, 93: 449–453.
- [6] ZHANG T S, MA J, CHAN S H, KILNER J A. Grain boundary conduction of Ce_{0. 9}Gd_{0. 1}O_{2 -δ} ceramics derived from oxalate coprecipitation: Effects of Fe loading and sintering temperature [J]. Solid State Ionics, 2005, 176: 377–384.
- [7] BRETT D J, ATKINSON A, CUMMING D, ELVIA R C, ROBERT R, BRANDON N P. Methanol as a direct fuel in intermediate temperature (500~600) solid oxide fuel cells with copper based anodes[J]. Chemical Engineering Science, 2005, 60: 5649–5662.
- [8] LI Y X, CHEN W F, ZHOU X Z, GU Z J, CHEN C M. Synthesis of CeO₂ nanoparticles by mechanochemical processing and the inhibiting action of NaCl on particle agglomeration[J]. Mater Lett, 2005, 59(1): 48-52.
- [9] BUMAJDAD A, ZAKI M I, EASTOE J, PASUPLETY L. Microemulsion-based synthesis of CeO₂ powders with high surface area and high-temperature stabilities[J]. Langmuir, 2004, 20: 11223–11233.
- [10] YIN L X, WANG Y Q, PANG G S, KOLTYPIN Y, GEDANKEN A. Sonochemical synthesis of cerium oxide nanoparticals—Effect of additives and quantum size effect[J]. J Colloid Interface Sci, 2002, 246(1): 78–84.
- [11] TSAI M S. Powder synthesis of nano grade cerium oxide via homogenous precipitation and its polishing performance[J]. Mater Sci Eng, B, 2004, 110: 132–134.
- [12] YANG H M, ZHANG K, SHI R R. Sol-gel synthesis and photocatalytic active of CeO₂/TiO₂ nanocomposites[J]. J Am Ceram Soc, 2007, 90(5): 1370–1374.
- [13] ZHU Z F, WANG B L, MA J Z. Characterization of Pr-CeO₂ nanocrystallites prepared by low-temperature combustion & hydrothermal synthesis[J]. Chin J Struct Chem, 2006, 25: 1270–1274.
- [14] FU Y P, LIN C H, HSU C S. Preparation of ultrafine CeO₂ powder by microwave-induced combustion and precipitation[J]. J Alloys Comp, 2005, 391: 110–114.
- [15] 郝仕油. 超细 CeO₂ 的微波辅助加热合成及其抛光性能[J]. 无机化学学报, 2008, 26(6): 1012-1016.

 HAO Shi-You. Ultrafine CeO₂: Microwave-assisted heating preparation and polishing properties[J]. Chinese Journal of Inorganic Chemistry, 2008, 26(6): 1012-1016.
- [16] 宋晓岚,何 希,杨海平,江 楠,邱冠周. 沉淀法合成的纳 米 CeO₂ 前驱体的热分解动力学[J]. 中南大学学报: 自然科学

- 版, 2007, 38(3): 428-432.
- SONG Xiao-lan, HE Xi, YANG Hai-ping, JIANG Nan, QIU Guan-zhou. Thermal decomposition kinetics of precursor of CeO₂ nanocrystalline prepared by precipitation method[J]. J Cent South Univ: Science and Technology, 2007, 38(3): 428–432.
- [17] LIU Xiao-hua, CHEN Shao-jun, WANG Xiao-dong. Synthesis and photoluminescence of CeO₂:Eu³⁺ phosphor powder[J]. Journal of Luminescence, 2007, 127: 650–654.
- [18] LIU Guo-cong, DUAN Xue-chen, LI Hai-bin, DONG Hui, ZHUN Li-gang. Novel polyhedron-like t-LaVO₄:Dy³⁺ nanocrystals: Hydrothermal synthesis and photoluminescence properties[J]. Journal of Crystal Growth, 2008, 310: 4689–4696.
- [19] 刘国聪, 段学臣,李海斌,董 辉,朱立刚,梁达文. 鱼骨状 LaVO₄:Eu³⁺纳米晶的水热合成和荧光性能[J]. 中国有色金属 学报, 2009, 19(1): 119–126.

 LIU Guo-cong, DUAN Xue-chen, LI Hai-bin, DONG Hui, ZHU Li-gang, LIANG Da-wen. Study on hydrothermal synthesis, luminescent and magnetic properties of fishbone-like Eu³⁺-doped LaVO₄ nanocrystallite[J]. The Chinese Journal of Nonferrous Metals, 2009,19(1): 119–126.
- [20] LIU Guo-cong, DUAN Xue-chen, LI Hai-bin, LIANG Da-wen.

- Preparation and photoluminescence properties of Eu-doped Ga₂O₃ nanorods[J]. Materials Chemistry and Physics, 2008, 110: 206–211.
- [21] CHUNMAN H, JIMMY C Y, TSZYN K, ANGELO C M, SUKYIN L. Morphology-controllable synthesis of mesoporous CeO₂ nano- and microstructures[J]. Chem Mater, 2005, 17: 4514–4522.
- [22] ZHANG D S, FU H X, SHI L Y, PAN C S, LI Q, CHU Y L, YU W J. Synthesis of CeO₂ nanorods via ultrasonication assisted by polyethylene glycol[J]. Inorg Chem, 2007, 46: 2446–2451.
- [23] 王孝东, 刘晓华, 陈绍军, 黎 明, 刘 敏. CeO₂:Eu³⁺ 粉末的 溶胶-凝胶法制备及发光性能研究[J]. 光谱学与光谱分析, 2007, 27(11): 2182-2185.
 - WANG Xiao-dong, LIU Xiao-hua, CHEN Shao-jun, LI Ming, LIU Min. Preparation of CeO₂:Eu³⁺ powders by sol-gel method and their photoluminescence properties[J]. Spectroscopy and Spectral Analysis, 2007, 27(11): 2182–2185.
- [24] SHINOBU F, MASASHI O. Structure and luminescent property of CeO₂: rare earth (RE=Eu³⁺ and Sm³⁺thin films[J]. J Appl Phys, 2004(95): 8002–8006.

(编辑 何学锋)